

## 酸素吸収に関する又の実験

東北大学 大学院 ○油井 彰  
東北大学 工学部 志村克文  
同 中座恒夫

### 1. はじめに

河口部や湾内の水質汚濁の重要なパラメーターに溶存酸素濃度がある。Thames 河で英國汚漏防止委員会が行なった調査によると<sup>1)</sup>、酸素の補給源として大気からの酸素吸収によるものが圧倒的に多かった。また現場の測定から波や風の強い日は酸素濃度が高いことが報告されている。ここで混合モデルを考え大気からの酸素吸収と流動の関係を結びつける手がかりを得ようとした。さらに簡単な水槽を用いて波、風による影響を調べた。

### 2. 混合モデル

湾内や河口部の様に大気と水との接触時間が十分に長く、表面が碎ける程乱れが激しくなければ吸収過程は定常的に取り扱えると思われる。定常的な物質移動速度は(1)式で表される。<sup>2)</sup>

$$\frac{dm}{dt} = K_L A (C_S - C_L) \quad (1)$$

図1. 搅拌槽

液本体中の溶存酸素濃度の変化速度は

$$\frac{dC_L}{dt} = K_{La} \frac{A}{V} (C_S - C_L) = K_{La} (C_S - C_L) \quad (2)$$

で表わされる。ただし

$K_L$ : 移動係数 ( $\text{cm/hr}$ ) ,  $C_S$ : 溶存酸素飽和濃度 ( $\text{PPM}$ )

$K_{La}$ : 縦括物質移動係数 ( $\text{hr}^{-1}$ ) ,  $C_L$ : 液中の酸素濃度 ( $\text{PPM}$ )

$A$ : 気液接觸面積 ( $\text{cm}^2$ ) ,  $V$ : 液容積 ( $\text{cm}^3$ )

また流動側からいふと、酸素吸収は水面近くの乱流構造、

特に最小渦の大きさに關係しているといわれている。<sup>3)</sup>以

下の実験装置で等方性乱れを想定し、酸素吸収力を  $K_{La}$

で表わして両者の間に簡単な仮定を立てた。

#### 2-1. 実験装置

搅拌槽は厚さ  $2mm$  の塩化ビニール製で、全体を  $20^\circ\text{C}$  の恒温槽につけた。

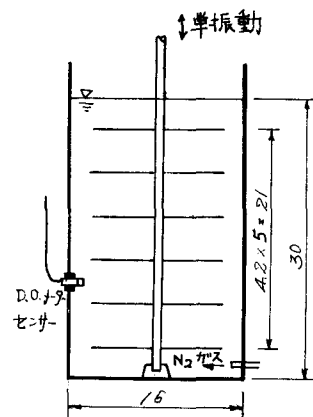
#### 2-2. 条件及び方法

蒸留水を用い  $N_2$  ガスで脱酸素した。

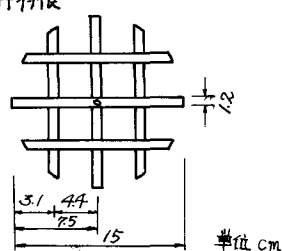
一番上の搅拌羽根が最高位にきたとき水面との距離(カバー)

を  $0, 0.75, 1.50 \text{ cm}$  。 振動のストロークを  $160,$

$240, 320 \text{ cm}$  。 振動数を  $20 \sim 260 \text{ r.p.m}$  の範囲で



搅拌槽



20 rpm ごとに変えた。

$K_{La}$  は D.O. メーターの記録紙から溶存酸素濃度の時間変化を読みとり(2)式を積分した(3)式より濃度変化の対数 対 時間をプロットして勾配を求めた。

$$K_{La} t = -2.303 \log_{10} \frac{C_0 - C_t}{C_0 - C_L} \quad (3)$$

$C_0$ : 初期の溶液の溶存酸素濃度

### 2-3 結果

本搅拌槽たと水中に溶け込んだ酸素は槽内一様に拡散し、流動も等方性乱れと考えられる。 $K_{La}$  は水表面近くの乱流構造のうち乱れの強さに比例し、乱れの大きさに反比例するとの仮定する。

乱れの強さは振動数に関係し、乱れの大きさは表面近くの混合距離、つまりカバーに関係するとすると、関係式

$$K_{La} \propto \frac{\text{振動数}}{\text{カバーの大きさ}} \quad (4)$$

を考えられる。

ストロークを変えたのは得られた結果があるストロークでセッティングした特殊性によるものか調べるためにある。

図2, 3, 4を見るとストロークにより勾配に差はあるが同じ傾向を示している。いずれの場合にも  $K_{La}$  が 0.5/hr付近で急に立ち上がって、これは表面が剥離し飛びはじめ振動数が増加するにつれ格子間に気泡が生じたためである。急上昇している点以降の  $K_{La}$  を直線で結ぶのはデータが少ないので無理かも知れない。

急上昇して、3点以下では、カバーが同じであれば振動数に略正比例して  $K_{La}$  が増加している。

また振動数が同じであれば、カバーが小さく程  $K_{La}$  の値が大きい。カバーの条件は3通りしか行なってはないのではっきりした事は言えず、がカバーに反比例の関係に  $K_{La}$  がある傾向が見られる。

以上の事が(4)の仮定に正当性があり、等方性乱れを河川や湾の水理量で表わされれば現場の  $K_{La}$  が推定できる。

今後検討するつもりである。

図2

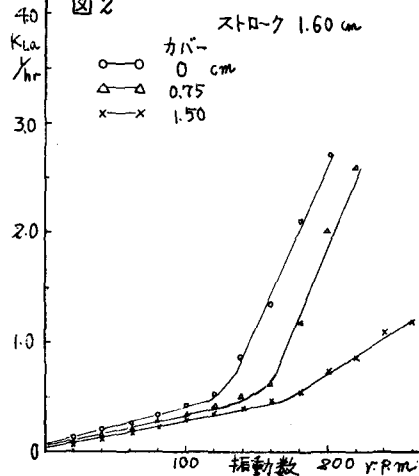


図3

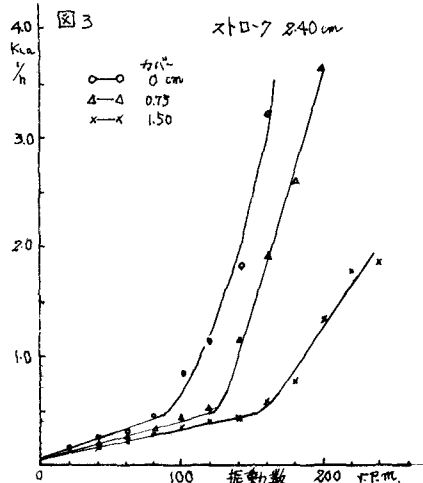
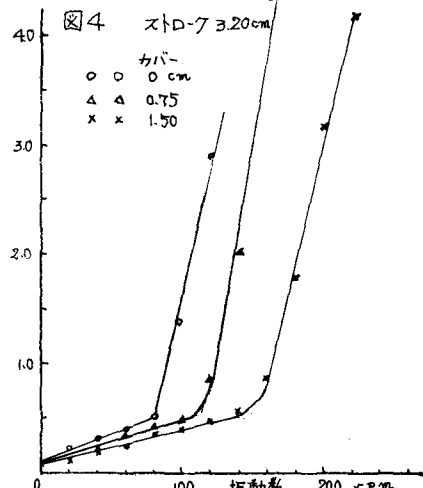


図4



### 3. 波、風による酸素吸収への影響

波、風の影響については殆ど知られていない。波が碎波しなければ酸素吸収は波の表面を通じて定常的に行なわれる。 $(1)$ 式からわかる様に定常的な物質移動速度は表面積が増加する程大きくなる。この関係を知るために、同じ周期で同じ波長の波を起しストロークを変えて波高を高くして表面積を増加させた。

波はファンで起し水面へ約 $30^{\circ}$ の角度であつた。

#### 3-1 実験装置

図5のものを用い、造波機はストロークを変えられる。

消波装置は金網としゅう製のマットを用いた。

#### 3-2 条件及び方法

室内の水道水を用い、 $N_2$ ガスで脱酸素した。

水温；  $13 \sim 15^{\circ}\text{C}$

水深；  $25, 35\text{ cm}$

風のとき

水道水水温；  $11 \sim 14^{\circ}\text{C}$

水深；  $35\text{ cm}$

風速；  $1.5 \sim 6.3\text{ %sec}$  (水面以上 $5\text{ cm}$ )

溶存酸素濃度の測定はD.O.メーターと満定(ワインクラ法)を行なった。K<sub>a</sub>の求め方は実験2の方法と同じであるが水温は $20^{\circ}\text{C}$ に出来なかったので報告されている実験式(15式)を用いて $20^{\circ}\text{C}$ のK<sub>a</sub>の値に換算した。

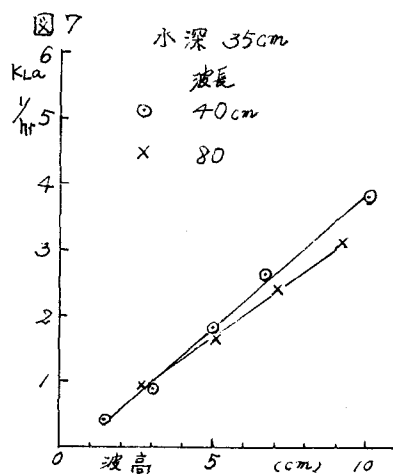
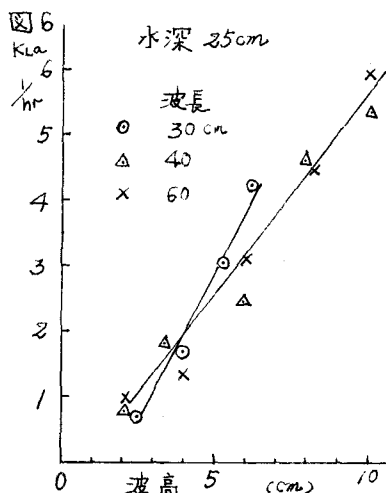
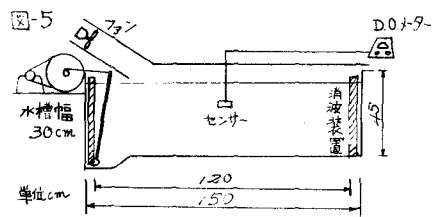
$$K_{a(20^{\circ}\text{C})} = \frac{K_{a(t)}}{1.024^{(t-20)}} \quad (15)$$

$K_{a(t)}$  = 溫度  $t^{\circ}\text{C}$  における  $K_{a(t)}$

#### 3-3 結果

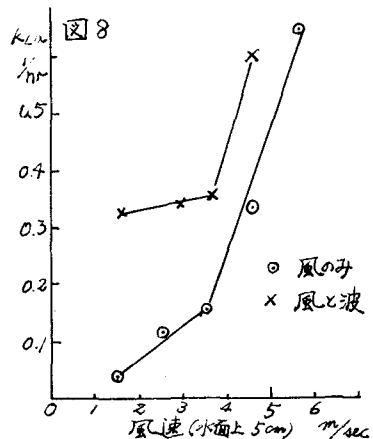
実験では各波長とも、波高が $8\text{ cm}$ 位までは比較的安定な波形を保つことが出来たが、 $8\text{ cm}$ を越えると碎波した。各条件とも波高が増加するにつれ略直線的にK<sub>a</sub>が増加した。碎波した波によるK<sub>a</sub>の値の傾向は見られなかつた。

風のみ送った場合、風速が $3.5\text{ %sec}$ では水面は $5\text{ mm}$ 以下の波が立つが穏やかであり、K<sub>a</sub>もゆるやかに増加したが $3.5\text{ %sec}$ を越えると水表面の乱れが激しくなり水本体に横ゆれが生じた。K<sub>a</sub>が $3.5\text{ %sec}$ 付近で急激に増加した。



周期0.5秒、波高2cmの波と風を同時に起したときの傾向は、風のみの場合と類似していた。風速が4m/sec を越え3と波の表面が乱れ始めの $K_{ca}$ の値が上昇した。

本実験のように、風が水面へ30°の角度であたりよる測定期間中同じ風速で吹き続ける条件は自然条件とは大分異なつていて問題はあるが、風速がある速度に達すると風の流れ方が変わつて水に対する影響が大きく変わるとと思われる。風の場合、単に定常的な酸素吸収論を応用して吸収量と表面積の相関性を説明することは困難である。



### 参考文献

- 1) Her Majesty's Stationery Office ; "Effects of Polluting Discharges on the Thames Estuary" (1964)
- 2) Lewis, W. K. and Whitman, W. C. ; "Principles of Gas Absorption" Industrial and Engineering Chemistry, Vol. 26 (1924)
- 3) O'Connor, D.J. and Dobbins, W.E. ; "Mechanism of Respiration in Natural Streams" Trans. A.S.C.E. vol. 123, (1958)